

پیش‌بینی سطح ایستابی با استفاده از سری‌های زمانی و سیستم استنباط فازی-عصبی تطبیقی

بهرام چوین، آرش ملکیان*، فرزانه ساجدی حسینی، امید رحمتی*

۱. دانشجوی دکتری، ساری، دانشگاه علوم کشاورزی و منابع طبیعی ساری
۲. استادیار پردیس کشاورزی و منابع طبیعی، دانشکده منابع طبیعی، دانشگاه تهران
۳. دانشجوی کارشناسی ارشد، ساری، دانشگاه علوم کشاورزی و منابع طبیعی ساری
۴. دانشجوی دکتری، لرستان، دانشگاه لرستان

(تاریخ دریافت: ۱۳۹۲/۸/۵ - تاریخ تصویب: ۱۳۹۳/۲/۱)

چکیده

مدل‌سازی در مناطق خشک برای مدیریت بهینه منابع آب اهمیت ویژه‌ای دارد. آب زیرزمینی از مهم‌ترین منابع آبی در مناطق خشک محسوب می‌شود. هدف این پژوهش ارزیابی عملکرد سیستم استنباط فازی عصبی تطبیقی (انفیس) و مدل‌های سری زمانی در پیش‌بینی سطح ایستابی است. در این پژوهش، با استفاده از مدل‌های سری زمانی و مدل انفیس با توابع عضویت مختلف اقدام به پیش‌بینی یک ماه بعد سطح آب‌های زیرزمینی دشت شیراز شد. بهترین ترکیب ورودی و طول داده‌های آموزشی و صحبت‌سنجی در مدل انفیس با استفاده از آزمون گاما و M برآورده شد. عملکرد مدل‌های مختلف با پارامترهای خطأ و دیاگرام تیلر مقایسه شد. نتایج مدل انفیس نشان داد که این مدل با تابع عضویت II شکل عملکرد بهتری نسبت به بقیه توابع عضویت دارد ($MAE = 0.953$ و $RMSE = 1/241$). مقایسه عملکرد مدل‌ها، حاکی از کارایی بسیار مناسب مدل خطی ARIMA (2,1,2) نسبت به مدل انفیس با توابع عضویت مختلف است ($MAE = 0.241$ و $RMSE = 0.241$).

کلیدواژگان: آزمون گاما، انفیس، دیاگرام تیلر، ARIMA

بهینه و صحیح در آب‌های زیرزمینی با استفاده از تکنیک‌های مدل‌سازی به پیش‌بینی نوسانات سطح آب‌های زیرزمینی در ماههای آینده پرداخت.

مطالعات در زمینه آب‌های زیرزمینی نشان می‌دهد که سری زمانی و سیستم‌های هوشمند مناسب‌ترین مدل‌های استفاده شده برای پیش‌بینی سطح ایستابی هستند; Ahn, 2000; Daliakopoulos *et al.*, 2005; Wong *et al.*, 2007) در سال‌های اخیر، از مدل ARIMA برای پیش‌بینی پارامترهای هیدرومئولوژیکی استفاده شده است (Abghari, 2010; Boochabun *et al.*, 2004; Chattopadhyay and Chattopadhyay, 2010; Chattopadhyay *et al.*, 2011; Wong *et al.*, 2007) در دشت همدان- بهار از اطلاعات سطح آب زیرزمینی طی سال‌های ۱۳۶۲-۱۳۸۱ استفاده شد و سپس با استفاده از مدل ARIMA(1,1,0) برای پیش‌بینی سطح آب زیرزمینی در ۲۰ سال آینده استفاده شد. نتایج حاصل از مقادیر پیش‌بینی شده به وسیله مدل سری زمانی، نشان می‌دهد که در صورت ثابت‌ماندن الگوی مصرف و همچنین عدم تغییرات در روند تغذیه سفره دشت همدان- بهار طی بیست سال آینده با کاهش حدود ۱۷/۵ متر نسبت به وضعیت فعلی سطح سفره

مقدمه

ایران کشوری با متوسط ریزش‌های جوی ۲۵۲ میلی‌متر است و در زمرة مناطق خشک و نیمه‌خشک جهان طبقه‌بندی می‌شود. محدودیت منابع آبی و نبود آب مناسب از عمدۀ ترین تنگناها و مشکلات کشاورزی در کشور است. از سوی دیگر، افزایش روزافزون جمعیت نیاز به تولید مواد غذایی بیشتر را ایجاد می‌کند. بنابراین، یافتن راهکارهایی برای غلبه بر کمبود آب در این مناطق همواره از اولویت‌های مطالعاتی و پژوهشی است تا بتوان محصولات کشاورزی را برای این جمعیت رو به تزايد تولید کرد (Afuni *et al.*, 2002). یکی از فاکتورهای مهم در مدیریت داشتن یک دید و نگرش مناسب از اتفاقات آینده است. در مدیریت منابع آب این امر مستثننا نیست و آگاهی از وضعیت منابع آب در یک منطقه نقش تعیین‌کننده‌ای در برنامه‌ریزی‌های کشاورزی دارد. خصوصاً اگر بتوان با استفاده از تحلیل‌های آماری، مدل‌های ریاضی و شرایط منابع آب در آینده را نیز پیش‌بینی کرد. از این‌رو، می‌توان برای مواجهه بهتر و مدیریت

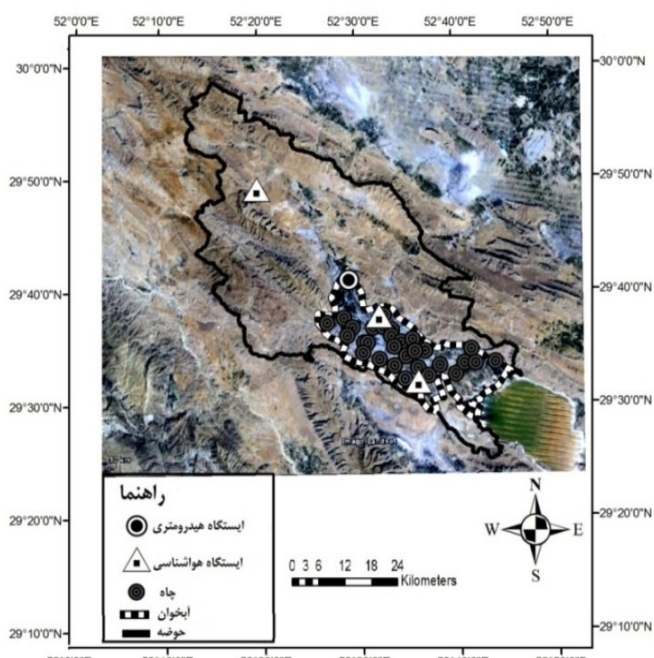
* نویسنده مسئول: malekian@ut.ac.ir

توجه به محدودیت منابع آبی در کشور، پیش‌آگاهی از وضعیت آب‌های زیرزمینی می‌تواند کمک شایانی به مدیریت منابع آبی به خصوص در مناطق خشک و نیمه‌خشک داشته باشد.

روش پژوهش

منطقه پژوهش شده

حوضهٔ شیراز با سطح برابر با ۱۴۵۰ کیلومترمربع در مختصات ۵۲ درجه و ۱۲ دقیقه تا ۵۲ درجه و ۴۵ دقیقه طول جغرافیای و ۲۹ درجه و ۲۵ دقیقه تا ۲۹ درجه و ۵۸ دقیقه عرض جغرافیای در استان فارس واقع شده است. متوسط بلندمدت بارندگی در سطح حوضه ۳۵۰ میلی‌متر است. بررسی‌های انجام شده نشان داده است که آبرفت دشت شیراز به صورت لایه لایه است و لایه‌های رسی بین لایه‌های آبدار قرار گرفته است به‌نحوی که رسوبات آبرفتی ضخامت یک‌نواختی ندارد و لایه‌های شنی بین لایه‌های رسی و سیلیتی قرار دارند (The Water 1991 comprehensive plan, 1991). داده‌های ورودی استفاده شده در این پژوهش شامل داده‌های ماهیانه از ۵ متغیر: مجموع بارش (P)، متوسط جریان ورودی به دشت (SF)، دما (T)، تبخیر (E) و سطح آب‌های زیرزمینی (Shirmohammadi *et al.*, 2013) طی دوره زمانی هجده ساله (۱۳۷۲ - ۱۳۸۹) است. شکل (۱) دشت و آبخوان شیراز و هم‌چنین موقعیت چاه‌های پیزومتری (تعداد ۲۹ حلقه چاه)، ایستگاه هیدرومتری و ایستگاه‌های هواشناسی را نشان می‌دهد.



شکل ۱. موقعیت آبخوان دشت شیراز و حوضه بالادست آن

مواجه خواهیم شد (Rahmani and Sedehi, 2005). در دشت شهرکرد با استفاده از ۱۷ مدل ARIMA نوسانات آب زیرزمینی پیش‌بینی شد و نتایج نشان داد که با ادامه روند کنونی، آبخوان ۶۹ شهرکرد به‌طور متوسط طی سال‌های آینده، در هر سال ۶ میلیون مترمکعب از حجم خود را از دست خواهد داد (Mirzaei *et al.*, 2006). در کره جنوبی نیز از سری‌های زمانی برای پیش‌بینی سطح آب زیرزمینی ماهانه استفاده شده است، این مطالعه براساس روش باکس و جنیکس (Box-Jenkins) بوده و نتایج نشان داده است که آریمای فصلی عملکرد رضایت‌بخشی در پیش‌بینی آب زیرزمینی دارد (Lee *et al.*, 2009). در ترکیه از مدل شبکه عصبی بازگشته ARIMA و مدل هیبرید (شبکه عصبی و ARIMA) برای پیش‌بینی کیفیت آب طی سال‌های ۱۹۹۶-۲۰۰۶ استفاده شد و نتایج نشان داد که مدل ARIMA عملکرد مناسبی دارد، در حالی که مدل هیبرید (شبکه عصبی ARIMA) عملکرد بهتری از مدل شبکه عصبی بازگشته (ANFIS) دارد (Faruk, 2010). افیس (ANFIS) یک مدل مددانی (MFIS) با موفقیت بیشتری قادر به پیش‌بینی است (Firat *et al.*, 2009). در سال ۲۰۱۳ پژوهشی در غرب استان چیلین در کشور چین برای افزایش درک از ویژگی‌های پویای سطح آب‌های زیرزمینی استفاده شد، از داده‌های سطح آب‌های زیرزمینی ماهانه سه حلقه چاه در سال‌های ۱۹۸۶ تا ۲۰۱۱ استفاده شد. نتایج نشان داد که سطح آب زیرزمینی روند کاهشی در حدود ۷ سال دارد. علاوه بر این، هیدروگراف سه حلقه چاه، تأثیرات رفتار انسان بعد از سال ۱۹۹۵ در کاهش سطح آب‌های زیرزمینی را نشان داد. در مقایسه با مدل یکپارچه میانگین متحرک اتورگرسیو (ARIMA)، روش تجزیه (Decomposition method) برای پیش‌بینی سطح آب زیرزمینی توصیه می‌شود (Lu, *et al.*, 2013). چندین پژوهش دیگر در زمینه مدیریت منابع آب‌های زیرزمینی از مدل افیس استفاده کرده‌اند (Chu and Chang, 2009; Firat *et al.*, 2009; Kisi and Shiri, 2012; Tutmez *et al.*, 2006). پیش‌بینی سطح ایستایی (یک ماه به جلو) با کمک سری زمانی و سیستم استنباط فازی عصبی- تطبیقی (انفیس) انجام شد. از نقاط قوت این مطالعه، بهره‌گیری از آزمون‌های گاما و M برای تعیین ترکیبات مختلف ورودی در مدل‌های غیرخطی است. با

$$O_i^2 = w_i = \mu_{A_i}(x)\mu_{B_i}(y) \quad i=1,2 \quad (\text{رابطه } ۳)$$

لایه ۳: گره ۱ ام این لایه که با N نام گذاری شده که نسبت قوانین نرمال‌شده را محاسبه می‌کند:

$$O_i^3 = \bar{w}_i = \frac{w_i}{w_1 + w_2} \quad i=1,2 \quad (\text{رابطه } ۴)$$

لایه ۴: گره ۱ در این لایه مشارکت قانون ۱ ام را به سمت خروجی مدل با استفاده ازتابع زیر محاسبه می‌کند.

$$O_i^4 = \bar{w}_i f_i = \bar{w}_i (p_i x + q_i y + r_i) \quad (\text{رابطه } ۵)$$

که در آن: \bar{w}_i , خروجی لایه ۳ و $\{p_i, q_i, r_i\}$ مجموعه پارامترها است.

لایه ۵: تنها گره این لایه، خروجی کلی ANFIS به عنوان جمع‌بندی از تمام ورودی‌های مدل، که غیرفازی شده است مطابق زیر محاسبه می‌کند:

$$O_i^5 = \sum_i \bar{w}_i f_i = \frac{\sum_i w_i f_i}{\sum_i w_i} \quad (\text{رابطه } ۶)$$

آزمون گاما

آزمون گاما (Gamma Test) نوعی مدل‌سازی غیرخطی و ابزاری برای آنالیز است و اجازه می‌دهد رابطه بین ورودی‌ها و خروجی‌ها در یک مجموعه داده‌های عددی امتحان شود. این آزمون می‌تواند کمترین مقدار قابل محاسبه میانگین مربعات خطأ (آماره گاما) (۸) را برای هر مدل ارائه دهد، در اصل تمام ترکیب‌های ورودی محتمل را بررسی می‌کند و میزان صحت و دقیقت مدل‌سازی را در ترکیب‌های مختلف تعیین می‌کند (Agalbjörn et al., 1997; Končar, 1997) پارامتر مقایسه شده برای ترکیب مختلف ورودی مقدار آماره گاما (۸) بود که ما برای اطمینان بیشتر از نسبت (V ratio) هم استفاده شد. نسبت (V ratio) از تقسیم آماره گاما بر واریانس داده‌های خروجی حاصل می‌شود. کوچکتر بودن مقادیر آماره گاما و نسبت V نشان‌دهنده بهترین ترکیب ورودی است (Agalbjörn et al., 1997; Končar, 1997).

آزمون M

آزمون M-Test (M-Test) نوعی روش اندازه‌گیری برای برآورد قابلیت اعتماد آماره گاما است، که با توجه به داده‌های موجود با برآورد آماره گاما حاصل می‌شود. این آزمون تعداد داده‌های مورد نیاز برای یک مدل مطلوب را تعیین می‌کند. آزمون گاما و M هر دو در نرم‌افزار WinGamma قابل اجرا است.

سیستم استنباط فازی-عصبی تطبیقی

انفیس اولین بار توسط جانگ معرفی شد (Jang, 1993). نکته اصلی هنگام طراحی یک مدل انفیس (ANFIS)، انتخاب سیستم استنتاج فازی (FIS)، است. برای یک مدل فازی سوگنو (Sugeno) درجه اول، با دو ورودی x و y و خروجی f مجموعه قوانین به صورت زیر ارائه می‌شود:

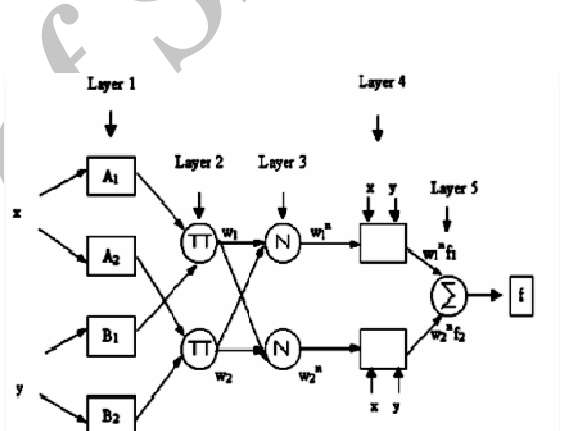
قانون اول: اگر x مساوی A_1 و y مساوی B_1 باشد، آن گاه

$$p_1 x + q_1 y + r_1 = f_1$$

قانون دوم: اگر x مساوی A_2 و y مساوی B_2 باشد، آن گاه

$$p_2 x + q_2 y + r_2 = f_2$$

که در آن: A_1, A_2, B_1, B_2 به ترتیب توابع عضویت برای ورودی‌های x و y هستند (برای مثال توابع گوسی، مثلثی و...). که نوع تابع عضویت قابل تغییر است. $r_1, p_1, q_1, r_2, p_2, q_2, r_3, p_3, q_3$ ارائه می‌شوند. ساختار معمول ANFIS در شکل ۲ ارائه شده است.



شکل ۲. معماری مدل ANFIS (Jang, 1993)

کارکرد ANFIS بدین شرح است:

لایه ۱: هر گره در این لایه درجات عضویت از یک متغیر ورودی را تولید می‌کند:

$$O_i^1 = \mu_{A_i}(x) \quad i=1,2 \quad (\text{رابطه } ۱)$$

$$O_i^1 = \mu_{B_{i-2}}(y) \quad i=3,4 \quad (\text{رابطه } ۲)$$

که در آن: x (یا y) ورودی گره مورد نظر، A_i یا B_{i-2} مجموعه فازی مرتبط با این گره است. μ_{A_i} و $\mu_{B_{i-2}}$ توابع عضویت مناسب برای مجموعه فازی A_i یا B_{i-2} هستند. O_i^1 خروجی مربوط به هر لایه است.

لایه ۲: هر گره در این لایه در سیگنال ورودی ضرب می‌شود و خروجی نتیجه‌های از تمامی سیگنال‌های ورودی است:

(۸۰ درصد داده‌ها)، برای بررسی کفايت مدل منتخب انجام شد که در این پژوهش با استفاده از نمودار PP برای بررسی نرمال بودن باقیمانده و آزمون پورتمنتو (Portmanteau) برای تعیین استقلال باقیمانده استفاده شد. برای ارزیابی کارایی مدل‌ها از معیارهای ریشه میانگین مربعات خطأ (RMSE) و میانگین قدر مطلق خطأ (MAE) استفاده شد. همچنین برای مقایسه دقیقت پیش‌بینی مدل‌ها از نمودار تیلر (Taylor diagrams) استفاده شد. نمودار تیلر یک روش گرافیکی است که چگونگی نزدیکی یک الگو یا مجموعه‌ای از الگوها را نسبت به مشاهدات نشان می‌دهد. این نمودار در سال ۲۰۰۱ توسط تیلر ارائه شده است (Taylor, 2001). نمودار تیلر با استفاده از سه آماره: ضرب‌بینی همبستگی، ریشه میانگین مربعات خطأ و انحراف معیار دو سری زمانی (پیش‌بینی شده و مشاهداتی) ترسیم می‌شود. این نمودار به خصوص در ارزیابی مدل‌های متعدد یا در اندازه‌گیری مهارت نسبی بسیاری از مدل‌های مختلف مفید است (IPCC, 2001).

نمودار تیلر در نرم‌افزار مطلب قابل ترسیم است.

نتایج و بحث

در این پژوهش ابتدا داده‌ها بررسی و دوره مشترک آماری انتخاب شد (۱۳۷۲ - ۱۳۸۹). سپس با استفاده از نرم‌افزار WinGamma و با در نظر گرفتن دو پارامتر گاما و نسبت V از روش الگوریتم ژنتیک اقدام به تعیین بهترین ترکیب ورودی از بین ترکیب‌های ورودی مختلف شد و همچنین بهترین تعداد داده‌های آموزشی با استفاده از روش M-Test تعیین شد. تعداد 1^{n+2} ترکیب ورودی وجود دارد که n نشان‌دهنده تعداد ورودی‌ها است. در این پژوهش از داده‌های مجموع بارش ماهانه (P)، متوسط ماهانه جریان ورودی به دشت (SF)، دما (T)، تبخیر (E) و سطح آب زیرزمینی (GL) به عنوان ورودی برای تعیین سطح آب زیرزمینی (GL) ماه بعد (Shirmohammadi et al., 2013) استفاده شد. با توجه به اینکه تعداد ورودی‌ها پنج تا بود، براساس فرمول یادشده تعداد ۳۱ نوع ترکیب مختلف وجود دارند. جدول ۱ بهترین ترکیب را از بین ورودی‌های مختلف نشان می‌دهد. به علت محدودیت فضا فقط تعدادی از ترکیب‌ها در این جدول ارائه شده است. در این جدول نمونه‌ای از پارامترهای ورودی با علائم اختصاری نشان داده شده است. آماره شیب، همان شیب رگرسیون خطی است که برای محاسبه آماره گاما استفاده می‌شود. خطای استاندارد هم مقدار صحت رگرسیون خطی را ارائه می‌کند. کوچک‌تر بودن آماره نشان‌دهنده صحت بیشتر آماره گاماست. Mask الگوی ورودی را نشان

مدل خودهمبسته میانگین متحرک تجمعی یکی از فرضیات اساسی در مدل‌سازی سری‌های زمانی هیدرولوژیکی است. در این پژوهش از دو روش رایج (ADF) یا آزمون ریشه واحد PP (Phillip - Perron, 1979) و روش (Dickey and Fuller, 1979) یا Phillips and Perron, 1988 (Phillips and Perron, 1988) برای آزمون ایستایی سری‌های زمانی سطح ایستایی با نرم‌افزار Eviews استفاده شد. توسعه مدل‌های سری زمانی شامل سه مرحله شناسایی، برآورد پارامترها و آزمون کفايت مدل است (Box and Jenkins, 1976). مرحله شناسایی شکل عمومی مدل با توجه به رفتار سری زمانی تعیین می‌شود. در مرحله برآورد پارامتر، پارامترهای مدل انتخاب شده در مرحله قبل، محاسبه شده و درنهایت در مرحله آزمون کفايت مدل، توانایی مدل منتخب در مدل‌سازی سری زمانی سنجیده می‌شود.

در این پژوهش سری زمانی داده‌های ماهیانه سطح ایستایی مربوط به دوره آماری ۱۳۷۲ تا ۱۳۸۹ برای توسعه سری‌های زمانی استفاده شد. در مرحله شناسایی، ساختار همبستگی زمانی سری، به وسیله آزمون توابع خودهمبستگی (ACF) و خودهمبستگی جزئی (PACF) تعیین می‌شود و با توجه به تعداد گام‌های معنادار در هر یک از نمودارهای ACF و PACF می‌توان محدوده تغییرات مرتبه مدل‌ها را به دست آورد و درنهایت با ترکیب آن‌ها به مدل‌های داوطلب دست یافت. مدلی که حداقل مقدار پارامتر آکائیک (Akaike Information Criterion-AIC) و شوارتز (Schwarz's Bayesian Criterion-SBC) را داشته باشد، به عنوان بهترین مدل انتخاب می‌شود. فرمول ریاضی (AIC) (Akaike, 1974) به صورت زیر است:

$$AIC = -2 \log(L) + 2m \quad (\text{رابطه ۷})$$

که در آن: L تابع درست‌نمایی مدل‌های ARIMA تخمین‌زده شده و m=p+q+P+Q تعداد پارامترهای ARIMA است.

فرمول ریاضی (SBC) (Schwarz, 1978) به صورت زیر است:

$$SBC = -2 \log(L) + m \ln(n) \quad (\text{رابطه ۸})$$

که در آن: n تعداد مشاهدات است.

برای برآورد پارامترها از نرم‌افزار MINITAB16 استفاده شد. در مدل ARIMA تفاضل اصلی با هر مرتبه و تناوبی که لازم باشد، انجام می‌گیرد تا سری حاصل ایستا شود.

در مرحله آزمون کفايت مدل، ابتدا سری باقیمانده‌ها را از تفاضل سری زمانی مشاهده شده و سری زمانی حاصل از برازش مدل منتخب بر سری زمانی سطح ایستایی ارائه شد، سپس آزمون‌های صحت سنجی روی باقیمانده‌های دوره واسنجی

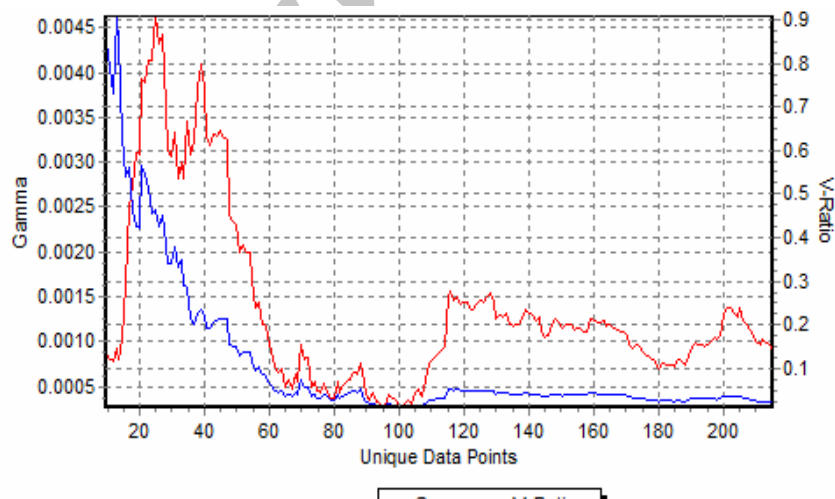
پایین‌ترین مقدار آماره گاما (میانگین مربعات خطأ) و نسبت V را دارد، تعداد بهینه‌داده‌های آموزشی را مشخص می‌سازد (Agalbjörn *et al.*, 1997; Končar, 1997) همان‌طور که در شکل ۳ مشخص است، در قسمت انتهایی و جایی که نمودار در حال افقی شدن است (توجه شود آماره‌های گاما بسیار کوچک هستند) کمترین مقدار آماره گاما و نسبت V مربوط به تعداد داده‌های ۱۸۰ است (به عبارت دیگر مطابق با پژوهش‌های نمودار در تعداد داده برابر با ۱۸۳ آماره گاما و نسبت V کمترین مقدار را دارد که درصد کل داده‌های ما را شامل می‌شوند). بنابراین، ۸۳ درصد داده‌ها برای سری آموزش و ۷۶ درصد برای ارزیابی کارایی مدل انفیس استفاده می‌شود.

می‌دهد که اعداد یک نشان‌دهنده دخالت‌دادن متغیر ورودی مرتبط در ترکیب ورودی است و عدد صفر نشان‌دهنده استفاده‌نکردن از آن است (اعداد براساس ترتیبی است که ورودی‌ها وارد نرم‌افزار می‌شوند). به عنوان مثال، الگوی ۱۱۰۱ نشان‌دهنده ترکیبی با ورودی‌های اول، دوم و پنجم (بارندگی، دما و سطح آب زیرزمینی) است. با توجه به کمترین مقدار پارامترها گاما (۰۰۰۹۰) و نسبت (۰۲۱/۰) V بهترین ترکیب ورودی با الگوی ۱۰۱۱ و با ورودی‌های بارندگی، دما، تبخیر و سطح آب زیرزمینی انتخاب می‌شود.

بهترین طول داده‌های آموزشی با استفاده از M-Test تعیین شد. در این آزمون خروجی به صورت نمودار است که در قسمت انتهایی که نمودار در حال افقی شده است، نقطه‌ای که

جدول ۱. تعیین بهترین ترکیب ورودی با استفاده از آماره گاما و نسبت V

ترکیب ورودی	P, T, E, GL	P, SF, T, E, GL	P, SF, E, GL	P, T, GL	SF, T, E, GL	SF, E, GL	SF, T, GL	P, SF, GL	E, GL	T, GL	P, GL	گاما
۰/۰۰۰۹	۰/۰۰۱۳	۰/۰۰۱۱	۰/۰۰۱	۰/۰۰۱	۰/۰۰۱	۰/۰۰۱	۰/۰۰۱	۰/۰۰۲	۰/۰۰۲	۰/۰۰۲	۰/۰۰۲	شیب
۰/۲۲۵	۰/۱۴۵	۰/۱۵۵	۰/۲۰۳	۰/۱۶۴	۰/۱۸۵	۰/۱۵۰	۰/۱۱۷	۰/۲۵۸	۰/۲۴۱	۰/۲۱۷	۰/۲۱۷	خطای
۰/۰۰۰	۰/۰۰۰	۰/۰۰۰	۰/۰۰۰	۰/۰۰۰	۰/۰۰۰	۰/۰۰۰	۰/۰۰۰	۰/۰۰۰	۰/۰۰۰	۰/۰۰۰	۰/۰۰۰	استاندارد
۰/۰۲۱	۰/۰۲۸	۰/۰۲۶	۰/۰۲۹	۰/۰۳۶	۰/۰۳۳	۰/۰۴۲	۰/۰۴۵	۰/۰۴۵	۰/۰۴۸	۰/۰۵۰	۰/۰۵۰	نسبت V
۱۰۱۱	۱۱۱۱۱	۱۱۰۱۱	۱۰۱۰۱	۰۱۱۱۱	۰۱۰۱۱	۰۱۱۰۱	۱۱۰۰۱	۰۰۱۱۱	۰۰۱۰۱	۱۰۰۰۱	۱۰۰۰۱	(Mask) الگوی
												ورودی



شکل ۳. خروجی M-Test برای تعیین بهترین طول داده‌های آموزشی با استفاده از نرم‌افزار WinGamma

انتشار است. در این پژوهش، از تمامی توابع عضویت داده‌های ورودی ارائه شده در جدول ۳ استفاده و تابع عضویت داده‌های خروجی خطی انتخاب شد. با توجه به اینکه در روش جداسازی تورانه‌ای تعداد قوانین فازی زیاد است و برای تعداد توابع عضویت زیاد محاسبه پارامترهای این مدل سخت است

برای طبقه‌بندی داده‌های ورودی و ایجاد قوانین در مدل انفیس از روش Grid partition (جداسازی تورانه‌ای) (Jang, 1993) که رایج‌ترین روش است استفاده شد و الگوریتم یادگیری استفاده شده در این پژوهش هیبرید (hybrid) بوده است که ترکیبی از روش حداقل مربعات خطأ و روش کاهش شیب پس

جدول ۳ نتایج ارزیابی پیش‌بینی مدل انفیس با توابع عضویت مختلف را نشان می‌دهد. همان‌طور که مشخص است تمامی توابع با تعداد تابع عضویت برابر با دو بهترین عملکرد را داشته‌اند و از بین مدل‌های مختلف، ریشه میانگین مربعات خطأ (MAE=۰/۹۵۳) و میانگین مطلق خطای (RMSE=۱/۲۴۱) تابع عضویت II شکل در داده‌های آزمون کمتر از بقیه توابع عضویت بوده است که نشان‌دهنده عملکرد بهتر مدل انفیس با این تابع عضویت است.

(Farokhnia *et al.* 2011)، تعداد توابع عضویت (از دو تا پنج تابع عضویت) براساس سعی و خطأ تعیین شد. انفیس برای ایجاد قوانین فازی از پارامترهای خطی و غیرخطی استفاده می‌کند، که با تغییر تعداد توابع عضویت این پارامترها نیز تغییر می‌کند. جدول ۲ تعداد پارامترهای استفاده شده به‌وسیله مدل ANFIS براساس تعداد توابع عضویت را در مدل مطلب ۲۰۱۱ نشان می‌دهد که پارامترها به تعداد توابع عضویت استفاده شده بستگی دارد.

جدول ۲. تعداد پارامترهای استفاده شده به‌وسیله مدل ANFIS

تعداد قوانین فازی	تعداد کل پارامترها	تعداد پارامترهای غیرخطی	تعداد پارامترهای خطی	تعداد گره‌ها	تعداد توابع عضویت	ورودی
۲	۹۶	۱۶	۸۰	۵۵	۵۵	۲
۳	۴۲۹	۲۴	۴۰۵	۱۹۳	۱۹۳	۳
۴	۱۳۱۲	۳۲	۱۲۸۰	۵۵۱	۵۵۱	۴
۵	۳۱۶۵	۴۰	۳۱۲۵	۱۲۹۷	۱۲۹۷	۵

جدول ۳. نتایج حاصل از توابع عضویت مختلف در روش انفیس

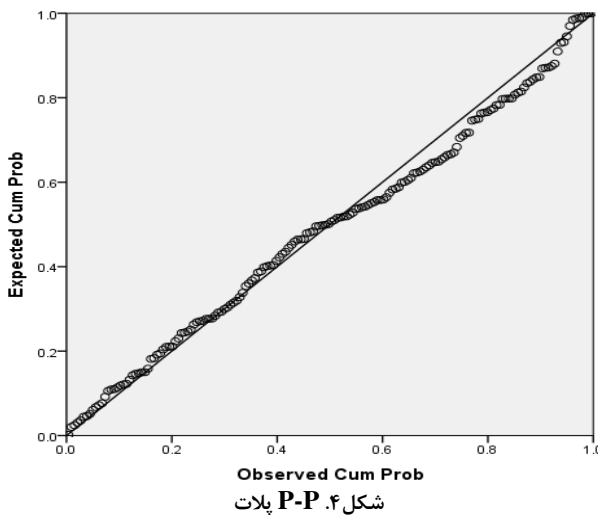
نوع توابع عضویت	تعداد توابع عضویت	آموزش	آزمون	MAE	RMSE
گوسی	۲	۰/۱۵۶	۰/۱۵۳	۲/۰۴۸	۱/۶۲۲
گوسی ۲	۲	۰/۲۰۴	۰/۱۵۲	۱/۹۵۲	۱/۳۸۸
زنگوله‌ای	۲	۰/۲۰۴	۰/۱۵۱	۲/۷۷۴	۱/۱۰۴
ذوزنقه‌ای	۲	۰/۲۱۶	۰/۱۵۱	۱/۵۸۹	۱/۱۷
مثلثی	۲	۰/۲۳۵	۰/۱۶۶	۱/۵۶۴	۱/۸۶۵
شکل II	۲	۰/۲۲۵	۰/۱۶۰	۱/۲۴۱	۰/۹۵۳
دوسیگموئیدی	۲	۰/۱۹۸	۰/۱۴۵	۱/۷۹۳	۱/۳۹۸

فقدان برازش Portmanteau نشان داد که داده‌ها به‌صورت یکسان و مستقل توزیع شده‌اند، چراکه مقدار $Q(r)$ کمتر از χ^2 است ($\chi^2 = 33/4 < 32/39 = Q$) که نشان‌دهنده این است که انتخاب مدل، صحیح است. P-P. P - P پلات نشان داد که داده‌ها توزیع نرمال دارند، چراکه نقاط بر روی شکل ۴ از الگوی خط ۴۵ درجه تبعیت می‌کنند که نشان‌دهنده این است که توزیع نرمال برای این مدل مناسب است. ضرایب مدل ARIMA(2,1,2) در جدول ۶ ارائه شده است. بنابراین، معادله پیش‌بینی سطح آب‌های زیرزمینی برای یک ماه بعد ($t+1$) به‌صورت زیر خواهد بود:

$$(رابطه ۱۱)$$

$$Y_{t+1} = Y_t + \phi_1 Y_t - \phi_2 Y_{t-1} + \phi_3 Y_{t-2} - \theta_1 e_t - \theta_2 e_{t-1} + c$$

جدول ۴ نتایج بررسی ایستایی بودن سری زمانی سطح ADF و PP با نرم‌افزار Eviews نشان می‌دهد. همان‌طور که مشخص است، بعد از تفاضلی کردن فرض صفر ($H_0: \theta=0$)، یعنی داده‌ها ناایستا هستند و نیاز به تفاضلی کردن است) رد می‌شود (چون مقادیر سطح معناداری کوچک‌تر از سطح اطمینان ۰/۰۴ درصد بوده است) و فرض مخالف مبنی بر ایستابودن داده‌ها پذیرفته می‌شود. مطابق با روش باکس-جنیکز و براساس خواص گرافیکی توابع خودهمبستگی (ACF) و خودهمبستگی جزئی (PACF) (مرتبه p و $q \leq 2$ و $p \leq q$) تعیین شد. سپس، براساس حداقل مقدار معیارهای AIC و SBC، ARIMA (2, 1, 1) به عنوان بهترین مدل انتخاب شد (جدول ۵). نتایج آزمون (2)



در مدل (2,1,2) مقادیر ریشهٔ میانگین مربعات خطأ و میانگین مطلق خطای داده‌های آموزشی به ترتیب ۰/۳۲۵ و ۰/۲۴۱ و برای داده‌های صحت‌سنجی به ترتیب ۰/۲۰۹ و ۰/۱۷۱ به دست آمد. مقایسه دقت نتایج عملکرد مدل (2,1,2) و انفیس با توابع عضویت متفاوت به وسیلهٔ دیاگرام تیلر بهتر مدل (شکل ۵). همان‌طور که در شکل ۵ مشخص است مدل هشت به مشاهدات ما نزدیک‌تر است که نشان‌دهندهٔ عملکرد بهتر مدل ARIMA نسبت به سایر مدل‌هاست. از بین پیش‌بینی‌های مدل انفیس مطابق با مقادیر ریشهٔ میانگین مربعات خطأ و میانگین مطلق خطای (جدول ۳) نمودار تیلر نیز نشان داد که عملکرد پیش‌بینی با تابع عضویت II شکل عملکرد بهتری نسبت به بقیهٔ توابع عضویت دارد. شکل‌های ۶ و ۷ موفقیت پیش‌بینی مدل (2,1,2) ARIMA در برابر داده‌های مشاهداتی برای دوره آزمون یا صحت‌سنجی مدل را نشان می‌دهد. پژوهش‌های گذشته نیز موفقیت مدل ARIMA در پیش‌بینی سطح آب‌های زیرزمینی را نشان داده‌اند (Adhikary *et al.*, 2012; Aflatooni and Mardaneh, 2011; Lee *et al.*, 2009; Lu, *et al.*, 2013; Voudouris, 2002) Rahmani and Sedehi (2005) در دشت همدان- بهار از مدل ARIMA (1, 1, 0) برای پیش‌بینی سطح آب زیرزمینی در ۲۰ سال آینده استفاده کردند که نتایج نشان‌دهندهٔ عملکرد خوب سری‌های زمانی است. Mirzaei *et al.* (2006) در دشت شهرکرد نیز نشان دادند که با مدل ARIMA به خوبی می‌توان نوسانات آب زیرزمینی آبخوان شهرکرد را پیش‌بینی کرد. Lee (2009) *et al.* در کرهٔ جنوبی نیز از سری‌های زمانی برای پیش‌بینی سطح آب زیرزمینی ماهانه استفاده کرد، که نتایج این مطالعه نتایج نشان داده است آریمای فصلی عملکرد رضایت‌بخشی در پیش‌بینی آب زیرزمینی دارد.

$$Y_{t+1} = Y_t + 1.7281 Y_t - 1.7281 Y_{t-1} - 0.9988 Y_{t-2} \\ + 0.9988 Y_{t-3} - 1.7073 e_t + 0.958 e_{t-1} - 0.006$$

که در آن: Y سطح آب زیرزمینی و e اختلاف بین سطح آب زیرزمینی مشاهده و پیش‌بینی شده است.

جدول ۴. نتایج بررسی ایستابی بودن سری زمانی سطح ایستابی قبل و بعد از تفاضلی کردن

مرحلهٔ بررسی	نوع آزمون	آمارهٔ معناداری**	سطح
قبل از تفاضلی کردن	-Augmented Dickey Fuller test	۰/۵۵	۱/۱۹
بعد از تفاضلی کردن	-Phillips Perron test	۰/۵۷	۱/۱۲
بعد از تفاضلی کردن	-Augmented Dickey Fuller test	***۰/۰۰۳۴	۱/۱۳
بعد از تفاضلی کردن	-Phillips Perron test	***۰/۰۰۰	۵/۴/۱

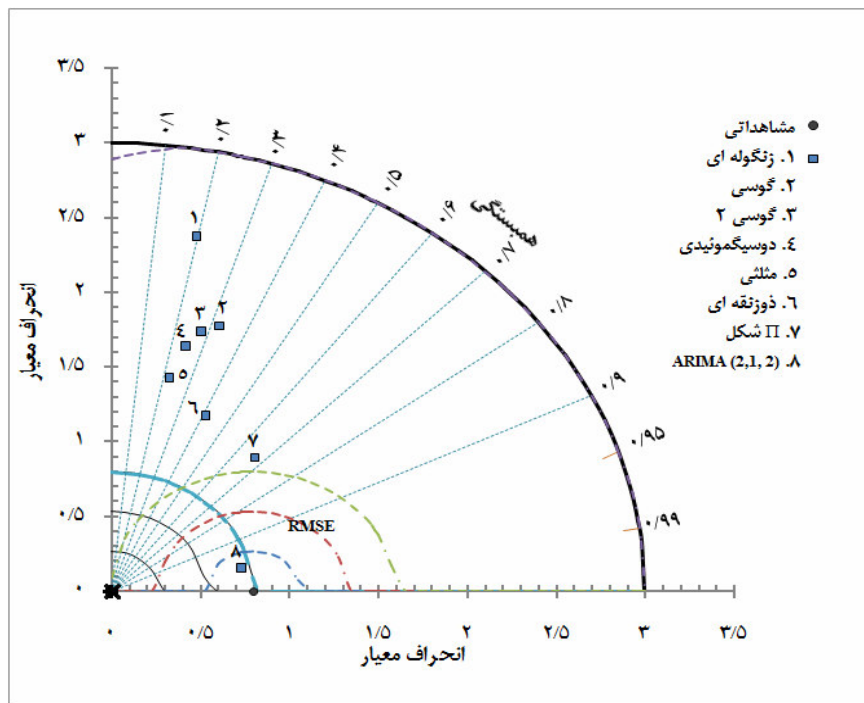
** در سطح ۹۹ درصد معنادار

جدول ۵. معیارهای SBC و AIC برای مدل‌های مختلف

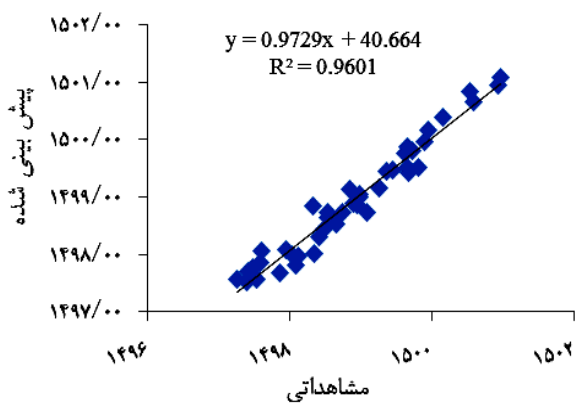
SBC	AIC	Model
۲۱۶/۳	۱۹۴/۳	ARIMA (2, 1, 4)
۲۱۴/۹	۱۹۶/۰	ARIMA (2, 1, 3)
۱۲۹/۹	۱۱۴/۲	ARIMA (2, 1, 2)
۲۱۷/۰	۲۰۴/۴	ARIMA (2, 1, 1)
۲۱۸/۴	۱۹۹/۵	ARIMA (1, 1, 4)
۲۱۶/۲	۲۰۰/۵	ARIMA (1, 1, 3)
۲۱۵/۰	۲۰۲/۴	ARIMA (1, 1, 2)
۲۱۲/۴	۲۰۳/۰	ARIMA (1, 1, 1)
۲۰۷/۳	۲۰۱/۰	ARIMA (1, 1, 0)
۲۱۳/۸	۱۹۸/۱	ARIMA (0, 1, 4)
۲۱۲/۸	۲۰۰/۲	ARIMA (0, 1, 3)
۲۱۳/۰	۲۰۳/۶	ARIMA (0, 1, 2)
۲۱۸/۷	۲۱۲/۴	ARIMA (0, 1, 1)

جدول ۶. ضرایب مدل ۲ (ARIMA (2,1,2)

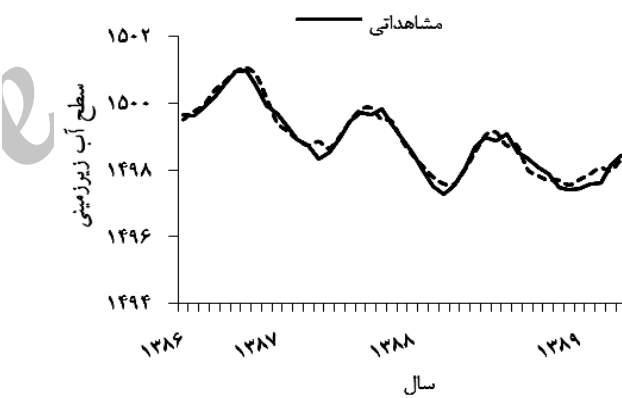
مدل	ضرایب	معنی‌داری	T	خطای استاندارد
ϕ_1	۱/۷۲۸۱	۰/۰۰۰	۴۶۸/۸۵	۰/۰۰۴
ϕ_2	-۰/۹۹۸۸	۰/۰۰۰	-۲۵۴/۷۵	۰/۰۰۴
θ_1	۱/۷۰۷۳	۰/۰۰۰	۴۳/۵۴	۰/۰۳۹
θ_2	-۰/۹۵۸	۰/۰۰۰	-۲۱/۱۵	۰/۰۴۵
Constant	-۰/۰۰۶	۰/۸۰۷	-۰/۲۴	۰/۰۲۳



شکل ۵. دیاگرام تیلر برای مقایسه دقیقت مدل‌های پیش‌بینی



شکل ۷. پلات مربوط به داده‌های مشاهداتی و پیش‌بینی مدل ARIMA



شکل ۸. پیش‌بینی مدل (2,1,2) ARIMA در برابر داده‌های مشاهداتی

مقایسه نتایج انفیس مشخص شد که پیش‌بینی باتابع عضویت Π شکل عملکرد بهتری نسبت به بقیه توابع عضویت دارد. امروزه به رغم استفاده کمتر از مدل‌های خطی این پژوهش نشان داد که مدل خطی ARIMA (2,1, 2) عملکرد بهتری نسبت مدل غیرخطی انفیس در پیش‌بینی سطح ایستابی دارد. مشخص بودن روابط و همچنین استفاده از داده‌های پیشینه سطح ایستابی (استفاده نکردن از متغیرهای ورودی مختلف با خطای مختلف) در مدل ARIMA موجب موفقیت بهتر این مدل شده است.

نتیجه‌گیری

پیش‌آگهی از منابع آب می‌تواند کمک شایانی به مدیریت منابع آب کشور کند. در این پژوهش از دو روش خطی و غیرخطی برای پیش‌بینی سطح آب‌های زیرزمینی دشت شیراز تا یک ماه بعد استفاده شد. برای تعیین ترکیب ورودی مناسب و مقدار مناسب داده‌های آموزشی در روش غیرخطی بهتر ترتیب از آزمون گاما و M استفاده کردیم که در هر دو روش مقدار بهینه براساس میانگین مربعات خطأ یا همان آماره گاما تعیین شد. با

REFERENCES

- Abghari, H., Rezaeianzadeh, M., Singh, V. P. and Moradzadeh Azar, F. (2010). Comparison of

Monthly Rainfall Prediction using Linear Stochastic-Base Models in Gharalar Rain Gauge

- Station Iran. *Geophysical Research Abstracts*, Vol. 12, EGU2010-2652-1.
- Adhikary, S.K., Rahman, M.D.M. and Gupta, A.D. (2012). A stochastic Modelling Technique for Predicting Groundwater table Fluctuations with Time Series Analysis. *Applied Sciences and Engineering Research*, 1(2), 238-249.
- Aflatooni, M. and Mardaneh, M. (2011). Time series analysis of ground water table fluctuations due to temperature and rainfall change in Shiraz plain. *Water Resources and Environmental Engineering*, 3(9), 176-188.
- Afuni, D.M., Malhojy, K. and Rashmeh, K. (2002). The use of saline water for irrigation of several wheat varieties and response. In proceedings of the First National Conference of solutions to deal with the water crisis, Iran, pp. 295-304. (In Farsi)
- Agalbjörn, S., Končar, N. and Jones, A. J. (1997). A note on the gamma test. *Neural Computing and Applications*, 53, 131–133.
- Ahn, H. (2000). Modeling of groundwater heads based on second-order difference time series models. *Hydrology*, 234(1-2), 82-94.
- Akaike, H. (1974). A look at the statistical model identification. *IEEE Transactions on Automatic Control*, 19, 716-723.
- Boochabun, K., Tych, W., Chappell, N. A., Carling, P. A., Lorsirirat, K. and PaObsaeng, S. (2004). Statistical modelling of rainfall and river flow in Thailand. *Geological Society of India*, 64, 503-515.
- Box, G. E. P. and Jenkins, G. M. (1976). *Time Series Analysis: Forecasting and Control Holden-Day*, San Francisco, CA. USA.
- Chattopadhyay, S. and Chattopadhyay, G. (2010). Univariate modelling of summer-monsoon rainfall time series: comparison between ARIMA and ARNN. *Comptes Rendus Geoscience*, 342, 100-107.
- Chattopadhyay, S. J., hajharia, D. and Chattopadhyay, G. (2011). Univariate modelling of monthly maximum temperature time series over northeast India: neural network versus Yule-Walker equation based approach. *Meteorological Applications*, 18, 70-82.
- Chu, H. J. and Chang, L. C. (2009). Application of optimal control and fuzzy theory for dynamic groundwater remediation design. *Water Resource Management*, 23 (4), 647-660.
- Daliakopoulos, I. N., Coulibaly, P. and Tsanis, I. K. (2005). Groundwater level forecasting using artificial neural networks. *Hydrology*, 309(1-4), 229-240.
- Dickey, D. A. and Fuller, W. A. (1979). Estimators for autoregressive time series with a unit root. *American Statistical Association*, 74, 427-431.
- Farokhnia, A., Morid, S. and Byun, H. R. (2011). Application of global SST and SLP data for drought forecasting on Tehran plain using data mining and ANFIS techniques. *Theor Appl Climatol*, 104, 71-81.
- Faruk, D. (2010). A hybrid neural network and ARIMA model for water quality time series prediction. *Engineering Applications of Artificial Intelligence*, 23 (4), 586-594.
- Firat, M., Turan, M. E. and Yurdusev, M. A. (2009). Comparative analysis of fuzzy inference systems for water consumption time series prediction. *Hydrology*, 374(3-4), 235-241.
- Hasmida, H. (2009). *Water quality trend at the upper part of Johor River in relation to rainfall and runoff pattern*. Faculty of Civil Engineering. MSc. Dissertation, University Teknologi Malaysia.
- IPCC, Houghton, J. T., Ding, Y., Griggs, D. J., Noguer, M., van der Linden, P. J., Dai, X., Maskell, K. and Johnson, C. A. (eds) (2001). *Climate change 2001: the scientific basis*, Cambridge University Press. Cambridge, United Kingdom and New York. NY. USA, 881 pp.
- Jang, J. S. R. (1993). ANFIS: adaptive-network-based fuzzy inference system. *IEEE Transactions on Systems Man and Cybernetics*, 23(3), 665-685.
- Kisi, O. and Shiri, J. (2012). Wavelet and neuro-fuzzy conjunction model for predicting water table depth fluctuations. *Hydrology Research*, 43 (3), 286-300.
- Končar, N. (1997). *Optimization methodologies for direct inverse neuro control*. Dept. of Computing. Imperial College of Science. Ph. D. dissertation, University of London, London.
- Lee, S. I., Lee, S. K. and Hamm, S. Y. (2009). A model for groundwater time-series from the well field of riverbank filtration. *Korea Water Resources Association*, 42, 673-680.
- Lu, W. X., Zhao, Y., Chu, H. B. and Yang, L. L. (2013). The analysis of groundwater levels influences by dual factors in western Jilin Province by using time series analysis method. *Applied Water Science*. DOI 10.1007/s13201-013-0111-4.
- Mirzaei, S.y., Chitsazan M., Chinipardaz, R. and Samadi, H. (2006). Groundwater forecasting of Shahrekord plains using time series models and discuss strategies to improve. *First Regional Conference on Optimum Utilization of Water Resources (Opportunities and Challenges)*, 5-6 SEP, Shahrekord University, Iran. (In Farsi)
- Phillips, P. C. B. and Perron, P. (1988). Testing for a Unit Root in Time Series Regression. *Biometrika*, 75, 335-346.
- Rahmani, A. and Sedehi, M. (2005). Prediction of changes in groundwater levels Hamedan - spring plain with time series model. *Water and Wastewater*, 15 (51), 42-49. (In Farsi)
- Schwarz, G. (1978). Estimating the dimension of a model. *Annals of Statistics*, 6(2), 461-464.
- Shirmohammadi, B., Vafakhah, M., Moosavi, V. and Moghaddamnia, A. (2013). Application of

- Several Data-Driven Techniques for Predicting Groundwater Level. *Water Resources Management*. DOI 10.1007/s11269-012-0194-y.
- Taylor, K. E. (2001). Summarizing multiple aspects of model performance in a single diagram. *Geophysical Research*, 106, 7183-7192. (Also see PCMDI Report 55, <http://wwwpcmdi.llnl.gov/publications/ab55.html>).
- The Water comprehensive plan (1991). *Groundwater resources of Shapur and Dalaki, Maherlu-Bakhtegan watersheds*. First edition, published by the Ministry of Energy. Jamab Consultant Engineering Company. Tehran. 400 pages. (In Farsi)
- Tutmez, B., Hatipoglu, Z. and Kaymak, U. (2006). Modelling electrical conductivity of groundwater using an adaptive neuro-fuzzy inference system. *Computers & Geosciences*, 32, 421-433.
- Voudouris, K. (2002). Time series analysis using ARIMA models of the groundwater table in Patras industrial area aquifer system NW Peloponnese. *Greece Terra Nostra (Bonn)*, 3, 335-340.
- Wong, H., Wc, I., Zhang, R. and Xia, J. (2007). Non-parametric time series models for hydrological forecasting. *Hydrology*, 332(3-4), 337-347.
- Zakaria, S., Al-Ansari, N., Knutsson, S. and Al-Badrany, T. (2012). ARIMA Models for weekly rainfall in the semi-arid Sinjar District at Iraq. *Earth Sciences and Geotechnical Engineering*, 2(3), 25-55.